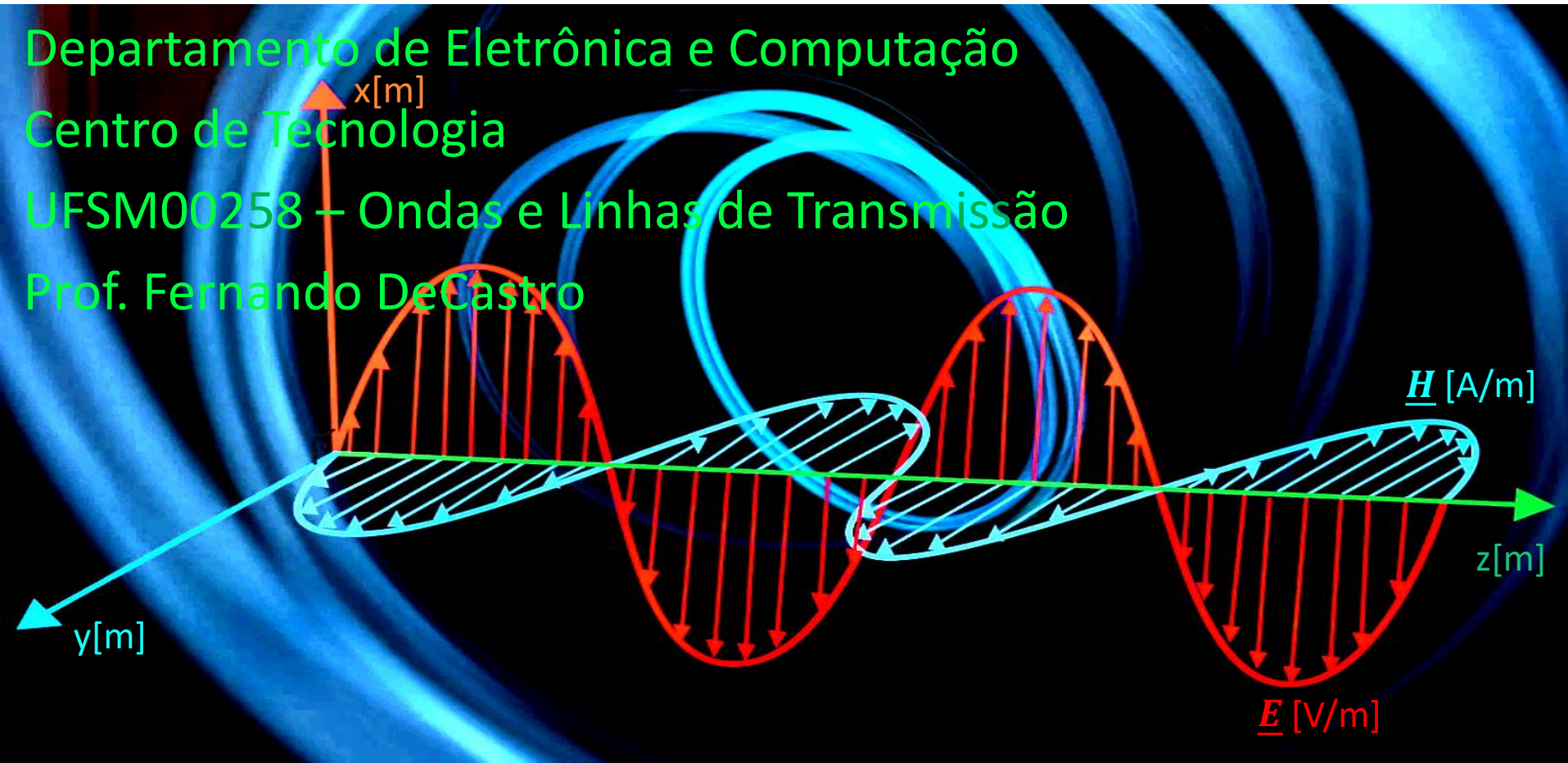


Vetor de Poynting, polarização da onda EM



Vetor de Poynting

Conforme vimos nos capítulos anteriores, as frentes de onda de uma onda EM que se propaga no espaço \mathbb{R}^3 são investidas de energia distribuída ao longo da superfície da frente de onda. Um exemplo disto é o Exemplo 3 do slide 36 Cap II.5, em que a onda EM incide em um condutor e induz uma corrente elétrica I no mesmo. Se conectarmos um resistor R a este condutor, a corrente I entrega uma potência $P = RI^2$ a este resistor, potência que é fornecida pelas frentes de onda da onda EM incidente no fio.

O objetivo desta seção é, então, derivar uma relação entre a taxa no tempo de transferência de energia (=potência transferida) e as intensidades dos campos \underline{E} e \underline{H} de uma onda EM que se propaga no interior de um volume fechado v delimitado por uma superfície s .

No interior do volume v , o meio de propagação da onda EM apresenta permeabilidade magnética μ , permissividade elétrica ε e condutividade elétrica σ .

Vamos iniciar a análise da potência transferida pela onda EM a partir das equações de Maxwell em rotacional dos campos \underline{E} e \underline{H} :

$$\underline{\nabla} \times \underline{E} = -\frac{\partial \underline{B}}{\partial t} \quad \underline{B} = \mu \underline{H} \quad (1)$$

$$\underline{\nabla} \times \underline{H} = \underline{J} + \frac{\partial \underline{D}}{\partial t} \quad \underline{D} = \varepsilon \underline{E} \quad (2)$$

Consideremos a seguinte identidade vetorial (ver "*Cross product rule*" em https://en.wikipedia.org/wiki/Vector_calculus_identities):

$$\underline{\nabla} \cdot (\underline{E} \times \underline{H}) = \underline{H} \cdot (\underline{\nabla} \times \underline{E}) - \underline{E} \cdot (\underline{\nabla} \times \underline{H}) \quad (3)$$

(1), (2) \rightarrow (3) resulta:

$$\underline{\nabla} \cdot (\underline{E} \times \underline{H}) = -\underline{H} \cdot \frac{\partial \underline{B}}{\partial t} - \underline{E} \cdot \frac{\partial \underline{D}}{\partial t} - \underline{E} \cdot \underline{J} \quad (4)$$

Vetor de Poynting

Em um meio de propagação usual, em que a permeabilidade magnética μ , a permissividade elétrica ε e a condutividade elétrica σ são invariantes no tempo, os termos à direita em (4) podem ser re-escritos como :

$$\underline{H} \cdot \frac{\partial \underline{B}}{\partial t} = \underline{H} \cdot \frac{\partial(\mu \underline{H})}{\partial t} = \frac{1}{2} \frac{\partial(\mu \underline{H} \cdot \underline{H})}{\partial t} = \frac{\partial}{\partial t} \left(\frac{1}{2} \mu |\underline{H}|^2 \right) \quad (5)$$

$$\underline{E} \cdot \frac{\partial \underline{D}}{\partial t} = \underline{E} \cdot \frac{\partial(\varepsilon \underline{E})}{\partial t} = \frac{1}{2} \frac{\partial(\varepsilon \underline{E} \cdot \underline{E})}{\partial t} = \frac{\partial}{\partial t} \left(\frac{1}{2} \varepsilon |\underline{E}|^2 \right) \quad (6)$$

$$\underline{E} \cdot \underline{J} = \underline{E} \cdot (\sigma \underline{E}) = \sigma |\underline{E}|^2 \quad (7)$$

notando que os resultados de (5) e (6) fazem uso da seguinte expressão do cálculo básico:

$$\underline{u} \frac{\partial \underline{u}}{\partial t} = \frac{1}{2} \frac{\partial(\underline{u} \cdot \underline{u})}{\partial t} \quad (8)$$

(5), (6), (7) \rightarrow (4) resulta:

$$\underline{\nabla} \cdot (\underline{E} \times \underline{H}) = -\frac{\partial}{\partial t} \left(\frac{1}{2} \varepsilon |\underline{E}|^2 + \frac{1}{2} \mu |\underline{H}|^2 \right) - \sigma |\underline{E}|^2 \quad (9)$$

Vetor de Poynting

O teorema da divergência de Gauss (https://en.wikipedia.org/wiki/Divergence_theorem) estabelece que a soma (integral) da componente normal de um campo \underline{F} sobre uma superfície fechada s é igual à soma da divergência de \underline{F} , dada por $\underline{\nabla} \cdot \underline{F}$, em toda região no interior de volume ν delimitado pela superfície s :

$$\oiint_s \underline{F} \cdot d\underline{s} = \iiint_\nu \underline{\nabla} \cdot \underline{F} \, dv \quad (10)$$

Fazendo $\underline{F} = \underline{E} \times \underline{H}$ em (10) e, a seguir, usando (9) no termo à direita de (10):

$$\oiint_s (\underline{E} \times \underline{H}) \cdot d\underline{s} = -\frac{\partial}{\partial t} \iiint_\nu \left(\frac{1}{2} \epsilon |\underline{E}|^2 + \frac{1}{2} \mu |\underline{H}|^2 \right) dv - \iiint_\nu \sigma |\underline{E}|^2 dv \quad (11)$$

Note que a primeira integral à direita de (11) representa a taxa de variação no tempo da energia (=potência) armazenada respectivamente no campo elétrico \underline{E} e no campo magnético \underline{H} no interior do volume fechado ν delimitado pela superfície S .

A segunda integral à direita de (11) representa a potência ôhmica (perdas Joule) dissipada no volume ν como resultado da densidade de corrente de condução $\underline{J} = \sigma \underline{E}$ fluindo no interior do volume ν em consequência do campo elétrico \underline{E} .

Portanto, o lado direito de (11) pode ser interpretado como a taxa de redução no tempo da energia elétrica e da energia magnética (potência elétrica e potência magnética) armazenadas no interior do volume ν , acrescida da perda de potência causada pela potência ôhmica dissipada como calor no interior do volume ν (perdas Joule).

Vetor de Poynting

$$\oiint_S (\underline{E} \times \underline{H}) \cdot d\underline{s} = -\frac{\partial}{\partial t} \iiint_V \left(\frac{1}{2} \varepsilon |\underline{E}|^2 + \frac{1}{2} \mu |\underline{H}|^2 \right) dv - \iiint_V \sigma |\underline{E}|^2 dv \quad (11)$$

Para ser consistente com a lei de conservação de energia, o lado direito de (11) deve igualar a potência (taxa de variação no tempo da energia) que sai do volume V atravessando a superfície S , quantidade que é representada pelo lado esquerdo de (11).

Assim, $\underline{E} \times \underline{H}$ no lado esquerdo de (11) é um vetor perpendicular ao plano que contém os vetores \underline{E} e \underline{H} e que representa a potência por unidade de área que sai do volume V atravessando a superfície S . Este vetor é denominado de **vetor de Poynting** \underline{S} , definido por:

$$\underline{S} = \underline{E} \times \underline{H} \text{ [VA/m}^2\text{]} \quad (12)$$

Se os vetores \underline{E} e \underline{H} forem variantes senoidalmente no tempo, então ambos são representados por seus respectivos fasores, e o vetor de Poynting \underline{S} é dado por:

$$\underline{S} = \frac{1}{2} (\underline{E} \times \underline{H}^*) \text{ [VA/m}^2\text{]} \quad (13)$$

onde $\{\cdot\}^*$ é o operador que retorna o valor conjugado de seu argumento. O multiplicador $1/2$ resulta da multiplicação por $1/\sqrt{2}$ dos valores instantâneos máximos de \underline{E} e \underline{H} para efeito de conversão das magnitudes de \underline{E} e \underline{H} para seu valores rms. A parte real de \underline{S} dado por (13) representa o **fluxo direcional de potência útil** em $[\text{W/m}^2]$ transportado pela onda EM. A parte imaginária de \underline{S} dado por (13) representa o **fluxo direcional de potência reativa** em $[\text{VAR/m}^2]$ transportado pela onda EM.

O vetor de Poynting \underline{S} representa, portanto, o fluxo direcional de potência de uma onda EM. Para uma onda EM plana, o vetor de Poynting \underline{S} é alinhado com a direção e sentido de propagação da onda EM e expressa a densidade superficial de potência distribuída na superfície das frentes de onda da onda EM.

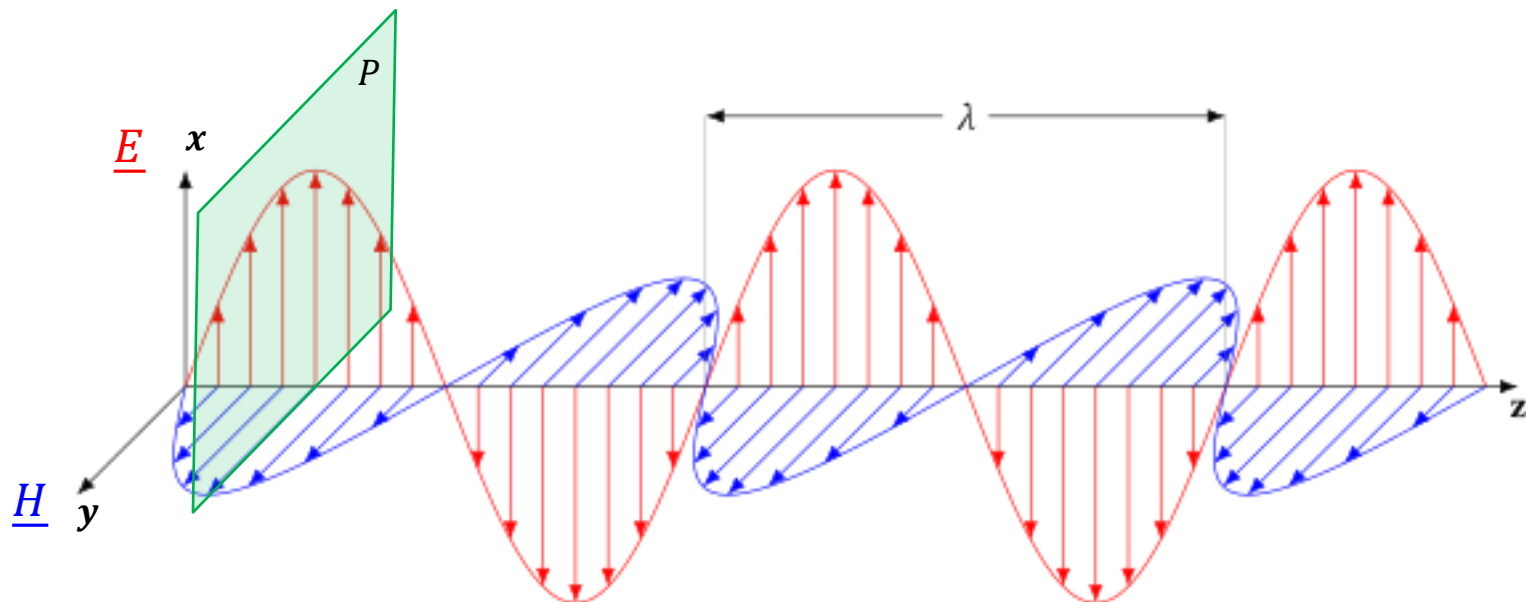
Polarização da onda EM

Vimos nos capítulos anteriores que uma onda EM plana é caracterizada pela direção de propagação (por exemplo, direção z – vetor unitário \hat{k}), pela amplitude e fase dos campos \underline{E} e \underline{H} e pela frequência f da onda.

Vimos também que os parâmetros constitutivos σ , ε e μ do meio determinam a constante de atenuação da onda α e a constante de fase β .

Para completar a descrição de uma onda plana uniforme, precisamos conhecer a orientação descrita por sua **polarização**, i.e., como o como o vetor unitário de \underline{E} se orienta no espaço \mathbb{R}^3 (e, conseqüentemente, como se orienta o vetor unitário de \underline{H} , que é ortogonal ao vetor unitário de \underline{E}).

Formalmente, a polarização da onda EM indica o caminho descrito pela ponta do vetor \underline{E} em um plano no espaço \mathbb{R}^3 que é ortogonal à direção de propagação. Por exemplo, a figura abaixo mostra a **polarização vertical**, em que a ponta do vetor \underline{E} ora aponta para cima, ora aponta para baixo, descrevendo uma linha vertical no plano P perpendicular à direção z de propagação.



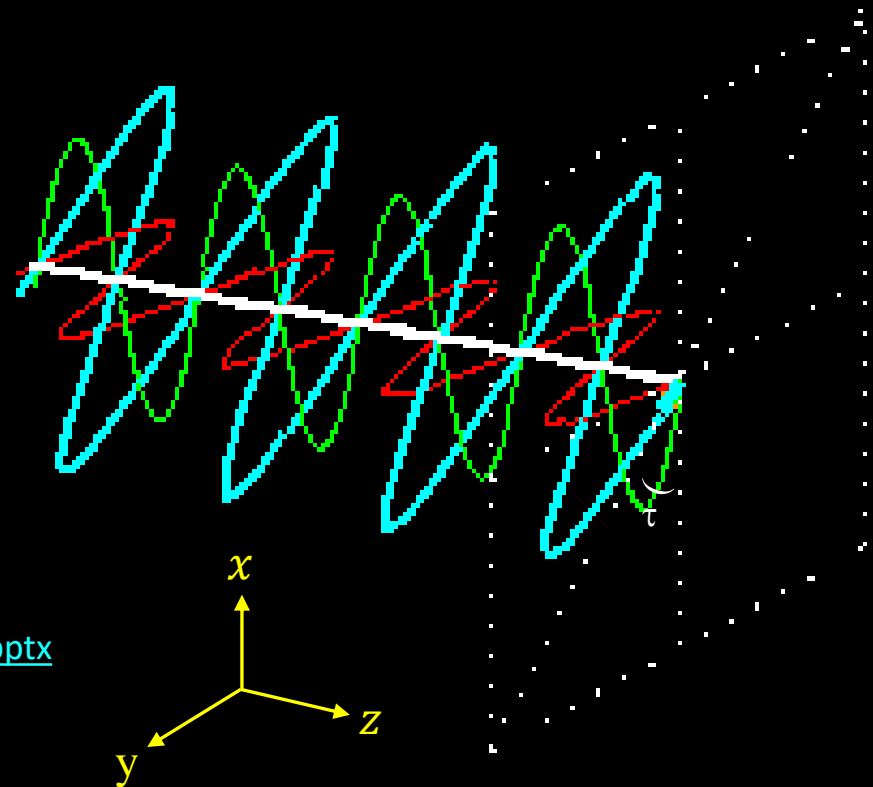
Polarização da onda EM

Consideremos a onda EM plana uniforme se propagando na direção z caracterizada pela equação (14) abaixo e mostrada em azul na figura:

$$\underline{E}(z, t) = E_x \underline{\hat{i}} + E_y \underline{\hat{j}} = E_{0x} \cos(\omega t - \beta z) \underline{\hat{i}} + E_{0y} \cos(\omega t - \beta z) \underline{\hat{j}} \quad [\text{V/m}] \quad (14)$$

Note na equação (14) que o campo $\underline{E}(z, t)$ tem uma componente de amplitude E_{0x} na direção x (em verde na figura) e tem uma componente de amplitude E_{0y} na direção y (em vermelho na figura).

A ponta do vetor $\underline{E}(z, t)$ resultante das componentes E_{0x} e E_{0y} traça um segmento de linha inclinado de um ângulo $\tau = \text{tg}^{-1}(E_{y0}/E_{x0})$, representando uma onda **polarizada linearmente** (em azul na figura).



Ver animação em

https://www.fccdecastro.com.br/PPT/OLT_C3_A1S7.pptx

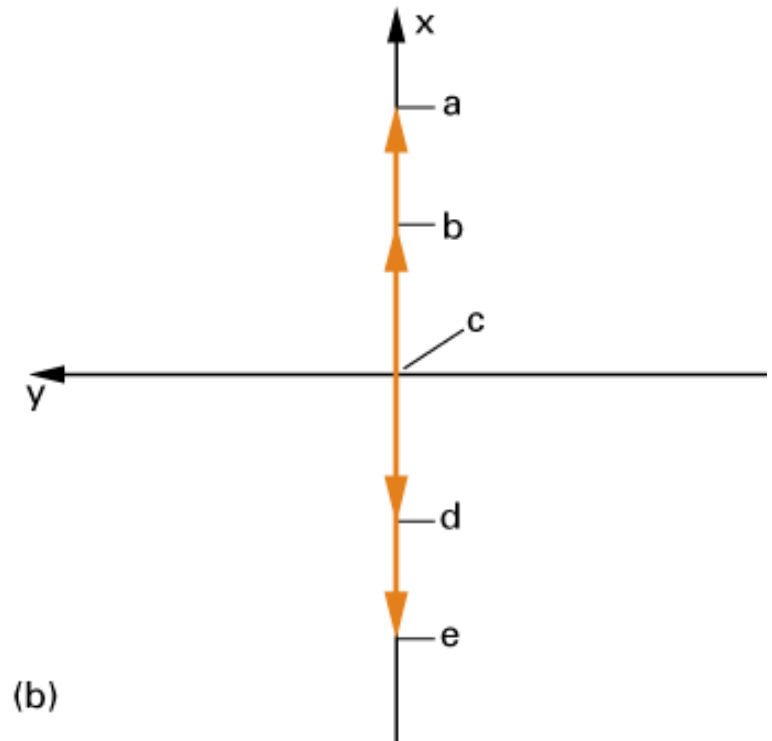
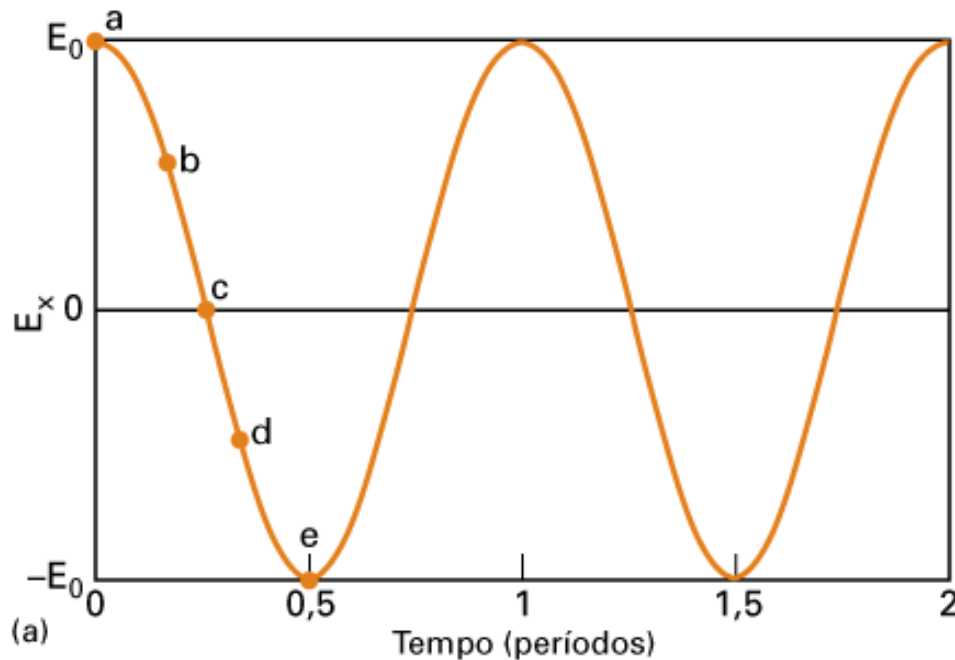
Polarização da onda EM

Consideremos agora uma onda EM plana uniforme se propagando na direção z caracterizada pela equação (15) e mostrada na figura abaixo.

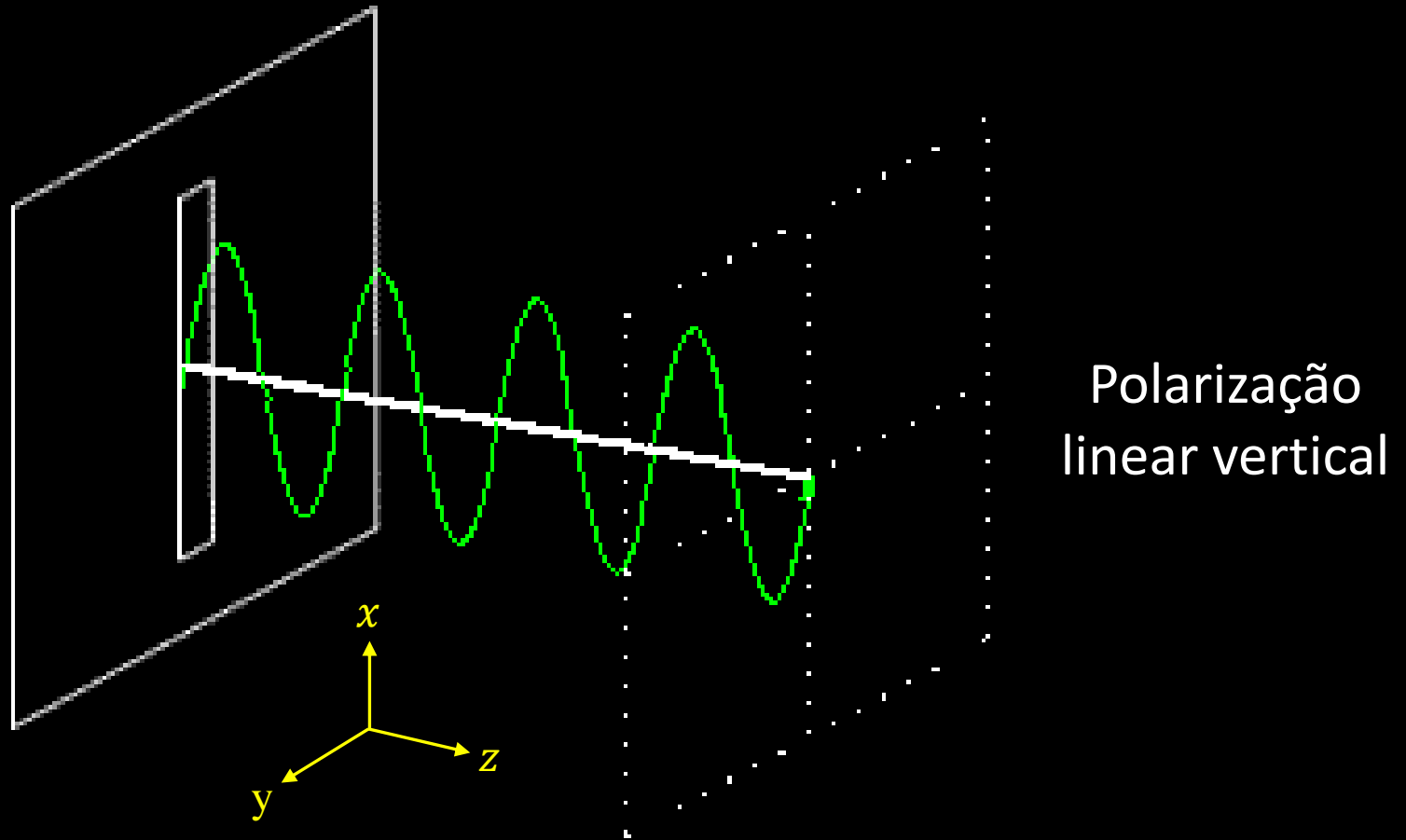
$$\underline{E}(z, t) = E_x \hat{i} = E_{0x} \cos(\omega t - \beta z) \hat{i} \quad [\text{V/m}] \quad (15)$$

Note na equação (15) que o campo $\underline{E}(z, t)$ tem uma única componente de amplitude E_{0x} na direção x , mostrada no tempo em (a) na figura abaixo para $z = 0$. A figura (b) mostra a representação no espaço \mathbb{R}^3 do vetor \underline{E} para os pontos correspondentes no tempo (de “a” até “e”).

O próximo slide mostra a animação da onda $\underline{E}(z, t)$ definida por (15), denominada onda EM **verticalmente polarizada**.



Polarização da onda EM



Ver animação em

https://www.fccdecastro.com.br/PPT/OLT_C3_A2S9.pptx

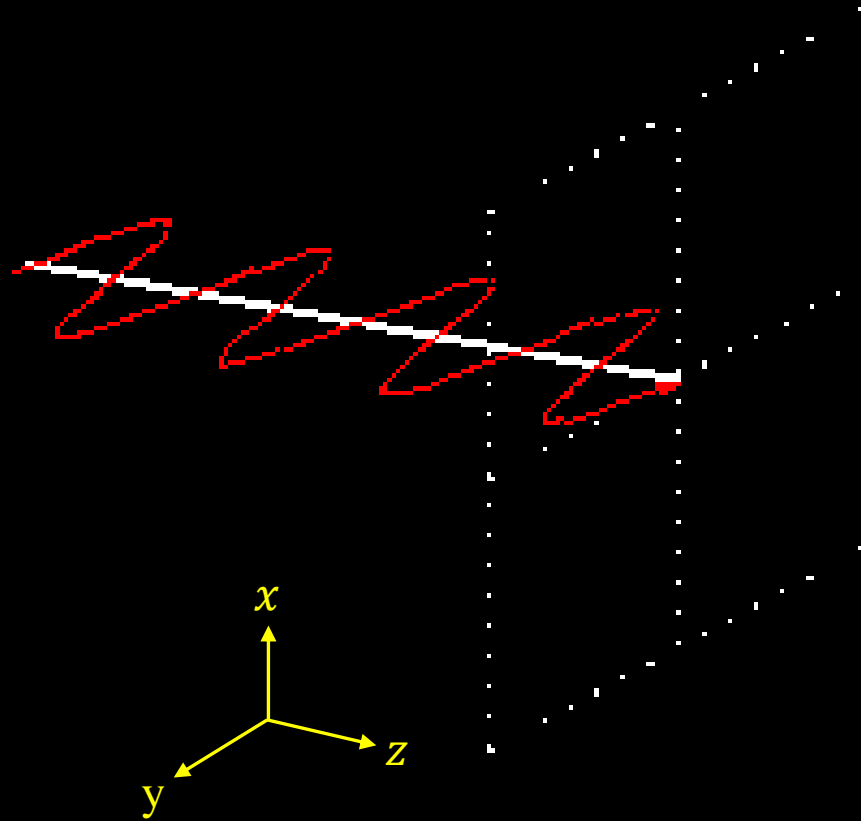
Polarização da onda EM

Uma onda EM plana uniforme se propagando na direção z caracterizada pela equação (16) é denominada de onda EM **horizontalmente polarizada**.

O próximo slide mostra a animação da onda $\underline{E}(z, t)$ horizontalmente polarizada definida por (16);

$$\underline{E}(z, t) = E_y \hat{\underline{j}} = E_{0y} \cos(\omega t - \beta z) \hat{\underline{j}} \quad [\text{V/m}] \quad (16)$$

Polarização da onda EM



Polarização
linear horizontal

Ver animação em

https://www.fccdecastro.com.br/PPT/OLT_C3_A3S11.pptx

Polarização da onda EM

Até o momento analisamos a onda EM plana $\underline{E}(z, t)$ uniforme se propagando na direção z com uma componente de amplitude E_{0x} na direção x e/ou com uma componente de amplitude E_{0y} na direção y , mas não incluímos na análise a possibilidade de as componentes estarem defasadas entre si, seja no tempo t , seja na distância percorrida na direção z de propagação. Para contemplar esta defasagem, vamos incluir na definição de $\underline{E}(z, t)$ os ângulos de fase ϕ_x e ϕ_y respectivos a cada componente, conforme mostra (17). Veremos que os ângulos ϕ_x e ϕ_y são fundamentais para definir outros dois modos de polarização da onda EM – a **polarização elíptica** e a **polarização circular**, conforme veremos adiante.

$$\underline{E}(z, t) = E_x \underline{\hat{i}} + E_y \underline{\hat{j}} = E_{0x} \cos(\omega t - \beta z + \phi_x) \underline{\hat{i}} + E_{0y} \cos(\omega t - \beta z + \phi_y) \underline{\hat{j}} \quad [\text{V/m}] \quad (17)$$

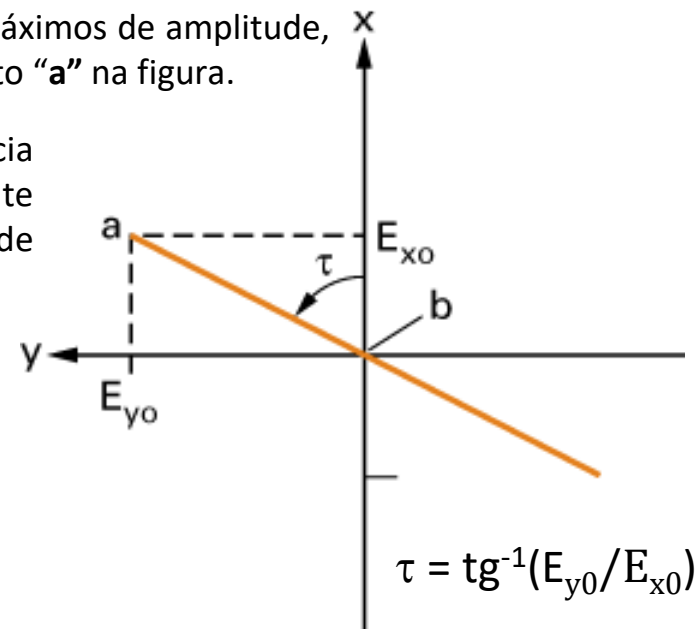
Para $\phi_x = \phi_y = 0^\circ$ (17) se torna idêntica a (14) e este é, então, o caso já analisado no slide 7. Se, para este caso, quisermos por exemplo traçar o caminho que a ponta do vetor \underline{E} descreve no plano P perpendicular à direção z de propagação (ver slide 6), estando P localizado em $z = 0$, a equação (17) simplifica para

$$\underline{E}(0, t) = E_x \underline{\hat{i}} + E_y \underline{\hat{j}} = E_{0x} \cos(\omega t) \underline{\hat{i}} + E_{0y} \cos(\omega t) \underline{\hat{j}} \quad [\text{V/m}] \quad (18)$$

Em $t = 0$, ambas as ondas polarizadas linearmente assumem seus valores máximos de amplitude, de modo que, de (18) temos $\underline{E}(0, 0) = E_{0x} \underline{\hat{i}} + E_{0y} \underline{\hat{j}}$, correspondendo ao ponto “a” na figura.

Em $t = T/4$, sendo $T = 1/f$ o período no tempo da onda EM de frequência $f = \omega/(2\pi)$, resulta que $\omega t = \pi/2$ e ambas as ondas polarizadas linearmente assumem seus valores mínimos de amplitude (zero, no caso), de modo que, de (18) temos $\underline{E}\left(0, \frac{T}{4}\right) = 0 \underline{\hat{i}} + 0 \underline{\hat{j}}$, correspondendo ao ponto “b” na figura.

Se traçarmos o caminho que a ponta do vetor \underline{E} descreve no plano P após transcorrer um ciclo completo de duração T , obtemos o segmento de linha em **laranja** na figura, indicando que a onda é **polarizada linearmente**. O ângulo de inclinação τ é o ângulo que essa linha faz com eixo x , dado por $\tau = \text{tg}^{-1}(E_{y0}/E_{x0})$.



A polarização linear ocorre quando as componentes E_x e E_y estão em fase:

$$\phi_y - \phi_x = 0^\circ \quad (19)$$

ou quando as componentes E_x e E_y estão defasadas de 180° :

$$\phi_y - \phi_x = \mp 180^\circ. \quad (20)$$

Quando a diferença de fase $\phi_y - \phi_x$ entre as componentes E_y e E_x não é 0° ou $\mp 180^\circ$ a polarização que ocorre é a denominada **polarização elíptica**, em que a ponta do vetor \underline{E} descreve uma elipse no plano P após transcorrer um ciclo completo de duração T do período da onda EM.

Quando a diferença de fase $\phi_y - \phi_x$ entre as componentes E_y e E_x é $\mp 90^\circ$ a polarização que ocorre é a denominada **polarização circular**, que é um caso particular da polarização elíptica, conforme veremos a seguir no Exemplo 1.

Polarização elíptica da onda EM

Exemplo 1: Uma onda EM plana $\underline{E}(z, t)$ uniforme de frequência $f = 2.4$ [GHz] se propaga no espaço livre na direção $+z$. O campo \underline{E} da onda EM apresenta uma componente de amplitude E_{0x} na direção x e uma componente de amplitude E_{0y} na direção y . ϕ_x e ϕ_y são os ângulos de fase respectivos de cada componente. Dependendo dos valores de E_{0x} , E_{0y} , ϕ_x e ϕ_y a ponta do vetor \underline{E} descreve vários tipos de linhas e curvas fechadas no plano P perpendicular à direção $+z$ de propagação, após transcorrer um ciclo completo de duração T do período da onda EM. O tipo de linha e/ou curva fechada descrita no plano P definem o tipo de polarização: Linha (polarização linear), elipse (polarização elíptica) ou círculo (polarização circular).

Pede-se: Plote a linha ou curva que a ponta do vetor \underline{E} descreve no plano P perpendicular à direção $+z$ de propagação para as seguintes situações:

- (a) $E_{0x} = 1.0$ [V/m], $\phi_x = 0^\circ$, $E_{0y} = 1.0$ [V/m], $\phi_y = 0^\circ$.
- (b) $E_{0x} = 1.0$ [V/m], $\phi_x = 0^\circ$, $E_{0y} = 1.0$ [V/m], $\phi_y = 180^\circ$.
- (c) $E_{0x} = 1.0$ [V/m], $\phi_x = 30^\circ$, $E_{0y} = 1.0$ [V/m], $\phi_y = 0^\circ$.
- (d) $E_{0x} = 1.0$ [V/m], $\phi_x = 60^\circ$, $E_{0y} = 1.0$ [V/m], $\phi_y = 0^\circ$.
- (e) $E_{0x} = 1.0$ [V/m], $\phi_x = 90^\circ$, $E_{0y} = 1.0$ [V/m], $\phi_y = 0^\circ$.
- (f) $E_{0x} = 1.0$ [V/m], $\phi_x = 30^\circ$, $E_{0y} = 2.0$ [V/m], $\phi_y = 0^\circ$.
- (g) $E_{0x} = 1.0$ [V/m], $\phi_x = 30^\circ$, $E_{0y} = 4.0$ [V/m], $\phi_y = 0^\circ$.
- (h) $E_{0x} = 1.0$ [V/m], $\phi_x = 180^\circ$, $E_{0y} = 4.0$ [V/m], $\phi_y = 30^\circ$.

Polarização elíptica da onda EM

Solução:

Para a solução deste exemplo vamos usar o *script* Mathcad Exemplo1.xmcd disponível em https://www.fccdecastro.com.br/ZIP/OLT_C3_E1S14.zip .

$$f := 2.4\text{GHz}$$

$$\omega := 2 \cdot \pi \cdot f = 15.08 \cdot \frac{\text{rad}}{\text{ns}} \quad \lambda := \frac{c}{f} = 12.491 \cdot \text{cm} \quad \beta := \frac{2 \cdot \pi}{\lambda} = 50.3 \cdot \frac{\text{rad}}{\text{m}} \quad T := \frac{1}{f} = 0.417 \cdot \text{ns}$$

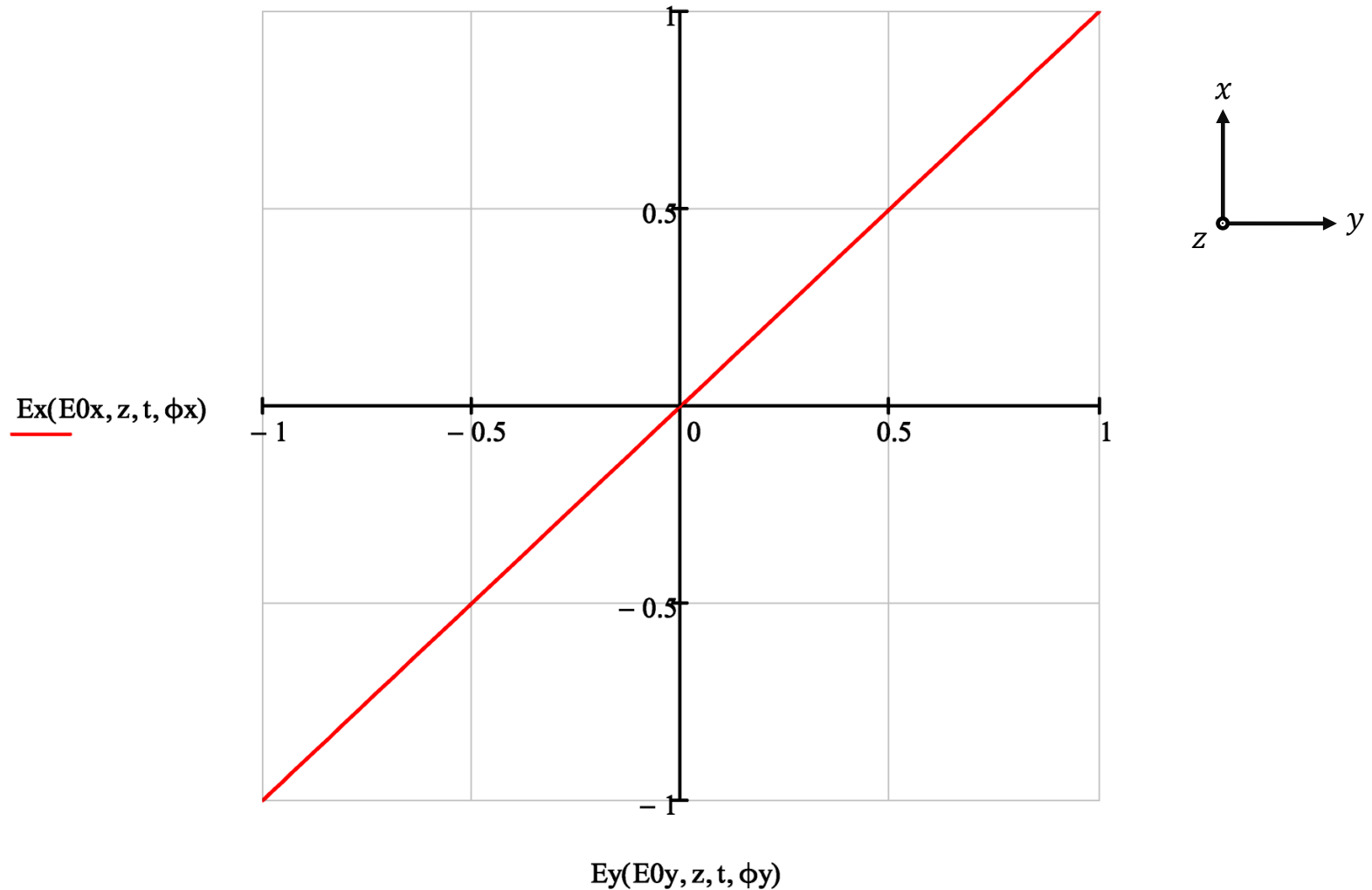
$$E_x(E0x, z, t, \phi_x) := E0x \cdot \cos(\omega \cdot t - \beta \cdot z + \phi_x) \quad E_y(E0y, z, t, \phi_y) := E0y \cdot \cos(\omega \cdot t - \beta \cdot z + \phi_y)$$

$$t := 0, 0.01 \cdot T.. T$$

$$z := 0 \cdot \lambda$$

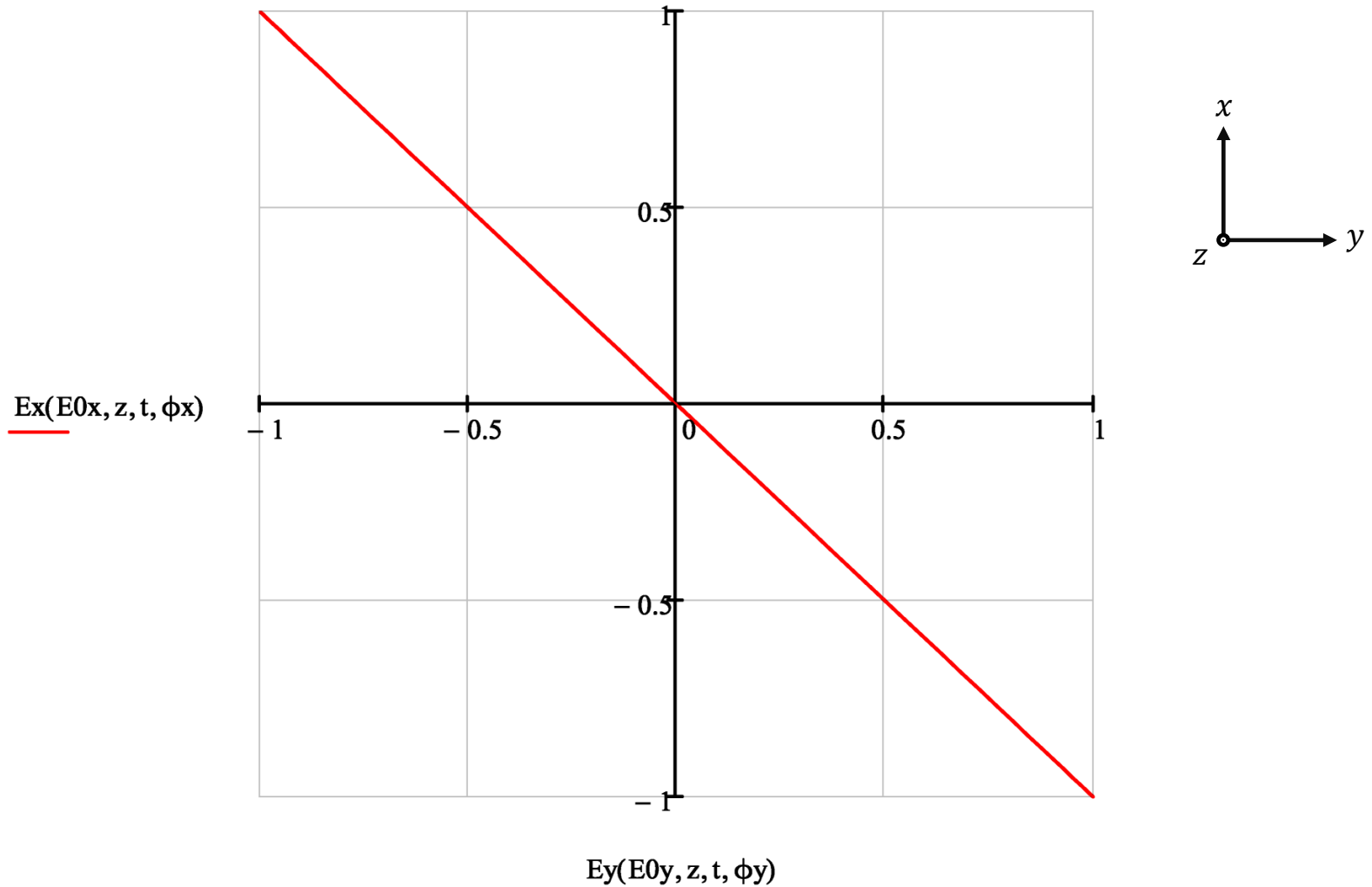
Polarização elíptica da onda EM

(a) $E_{0x} := 1.0 \frac{V}{m}$ $\phi_x := 0^\circ$ $E_{0y} := 1.0 \frac{V}{m}$ $\phi_y := 0^\circ$



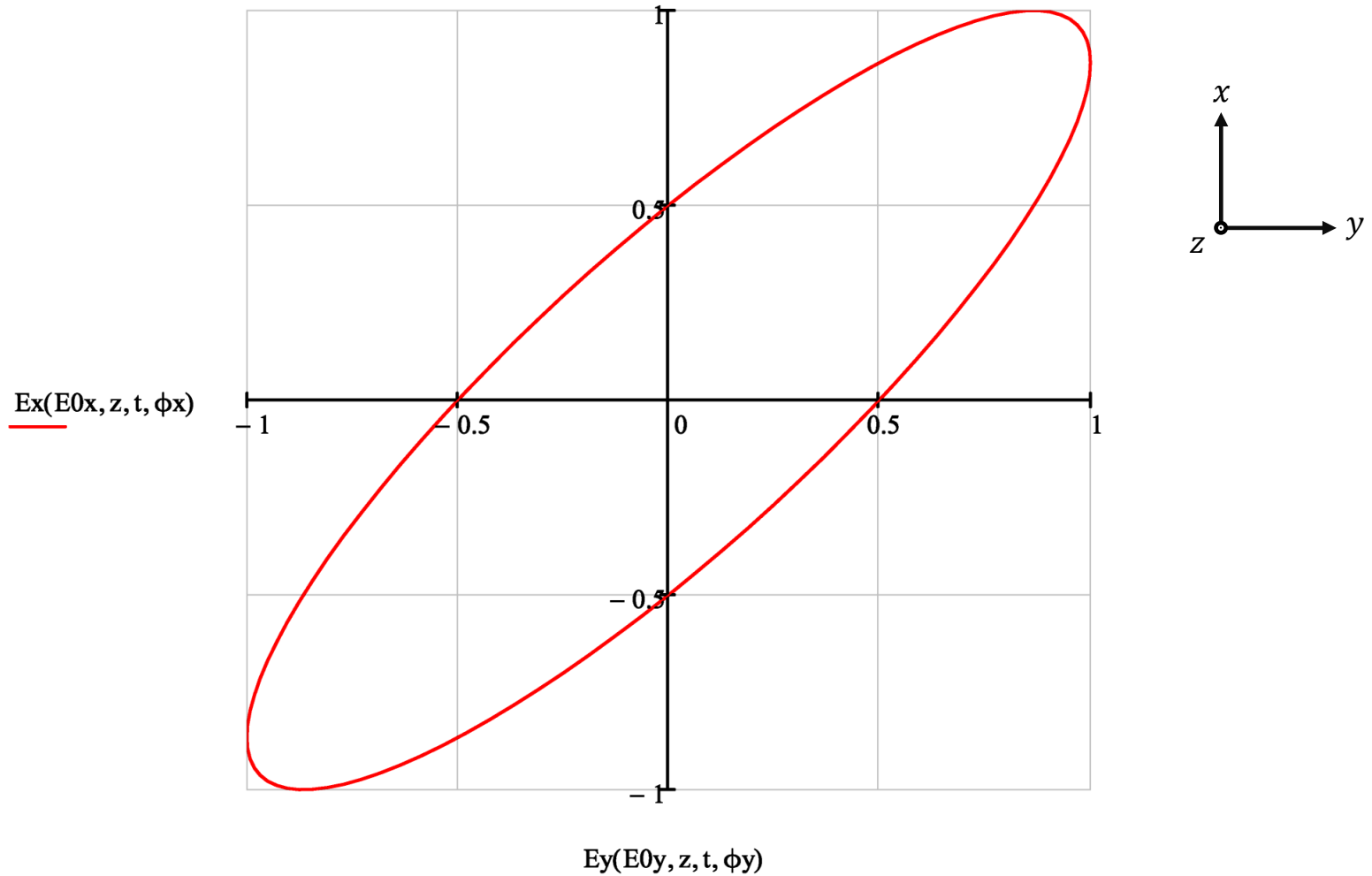
Polarização elíptica da onda EM

(b) $E_{0x} := 1.0 \frac{\text{V}}{\text{m}}$ $\phi_x := 0^\circ$ $E_{0y} := 1.0 \frac{\text{V}}{\text{m}}$ $\phi_y := 180^\circ$



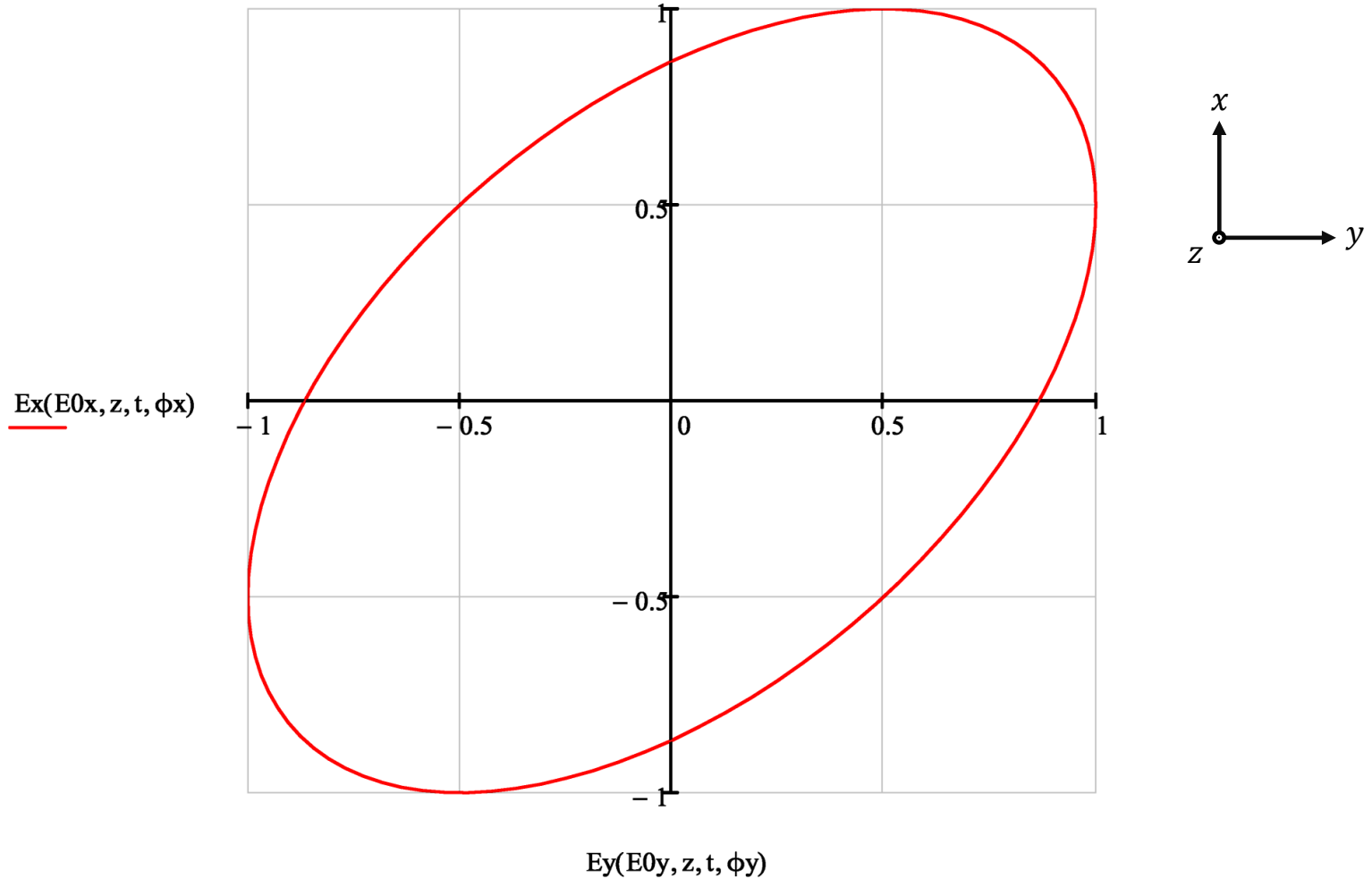
Polarização elíptica da onda EM

(c) $\underline{E_{0x}} := 1.0 \frac{\text{V}}{\text{m}}$ $\phi_x := 30^\circ$ $\underline{E_{0y}} := 1.0 \frac{\text{V}}{\text{m}}$ $\phi_y := 0^\circ$



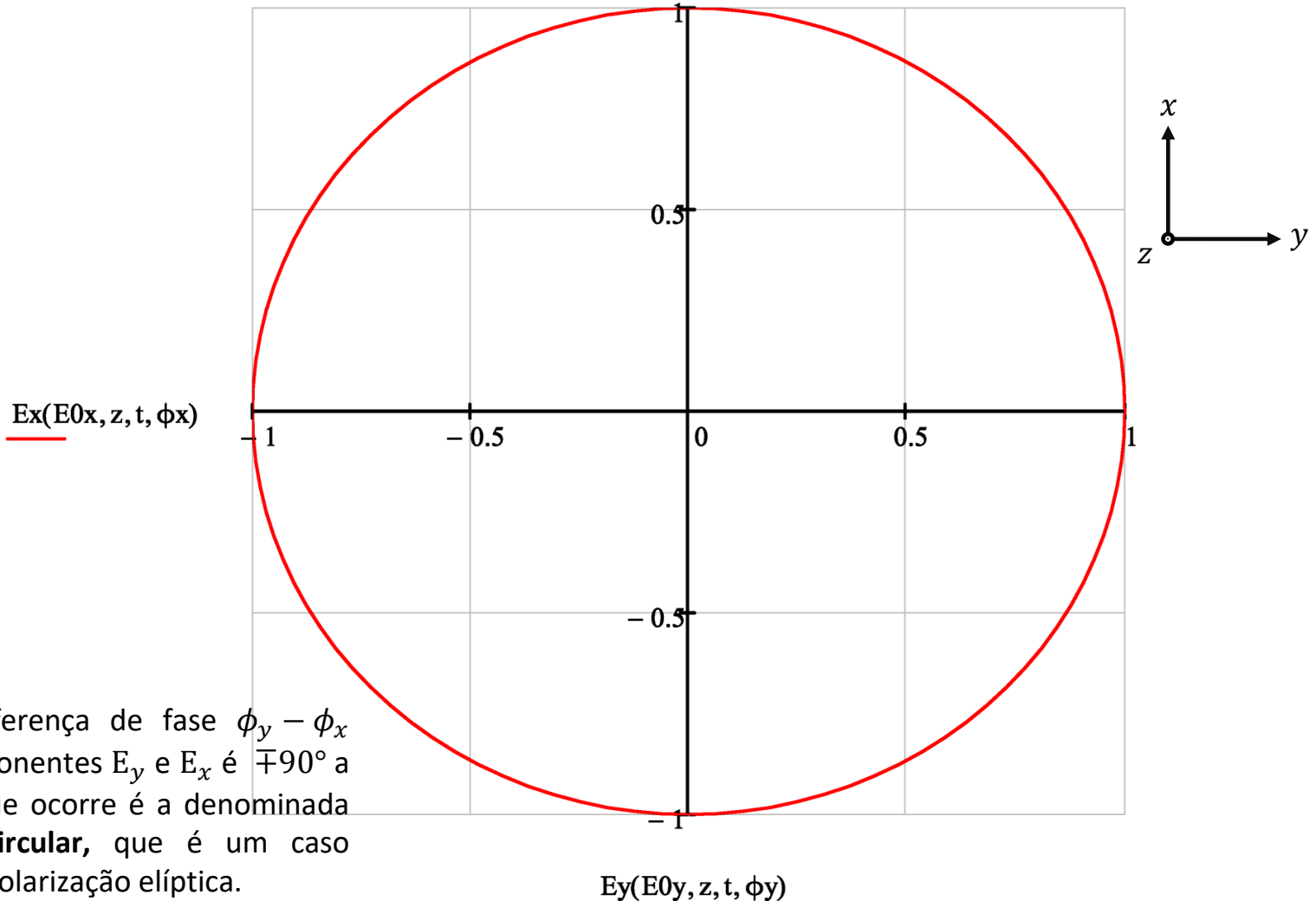
Polarização elíptica da onda EM

(d) $\underline{E0x} := 1.0 \frac{\text{V}}{\text{m}}$ $\underline{\phi x} := 60^\circ$ $\underline{E0y} := 1.0 \frac{\text{V}}{\text{m}}$ $\underline{\phi y} := 0^\circ$



Polarização elíptica da onda EM

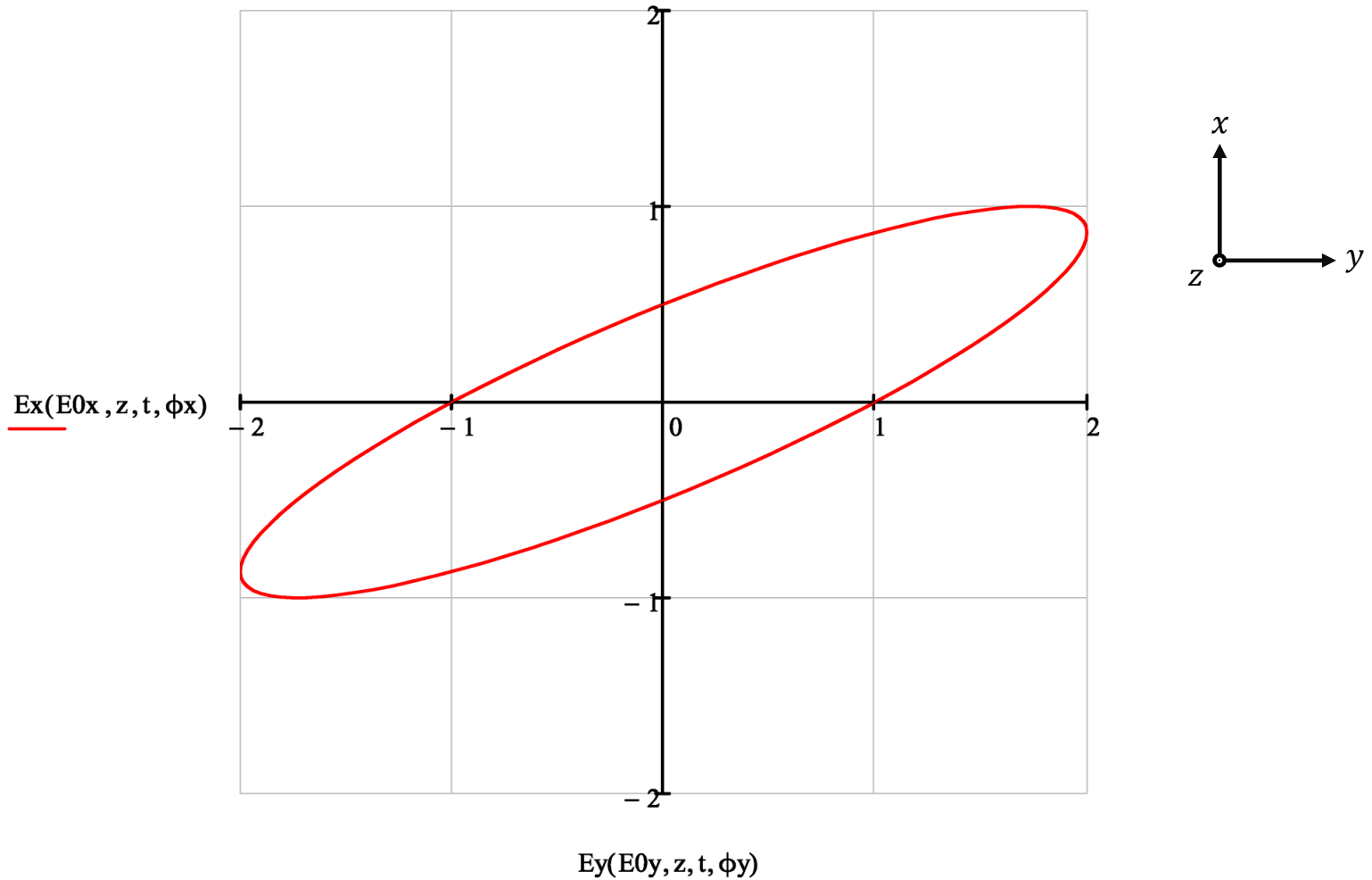
(e) $E_{0x} := 1.0 \frac{\text{V}}{\text{m}}$ $\phi_x := 90^\circ$ $E_{0y} := 1.0 \frac{\text{V}}{\text{m}}$ $\phi_y := 0^\circ$



Quando a diferença de fase $\phi_y - \phi_x$ entre as componentes E_y e E_x é $\mp 90^\circ$ a polarização que ocorre é a denominada **polarização circular**, que é um caso particular da polarização elíptica.

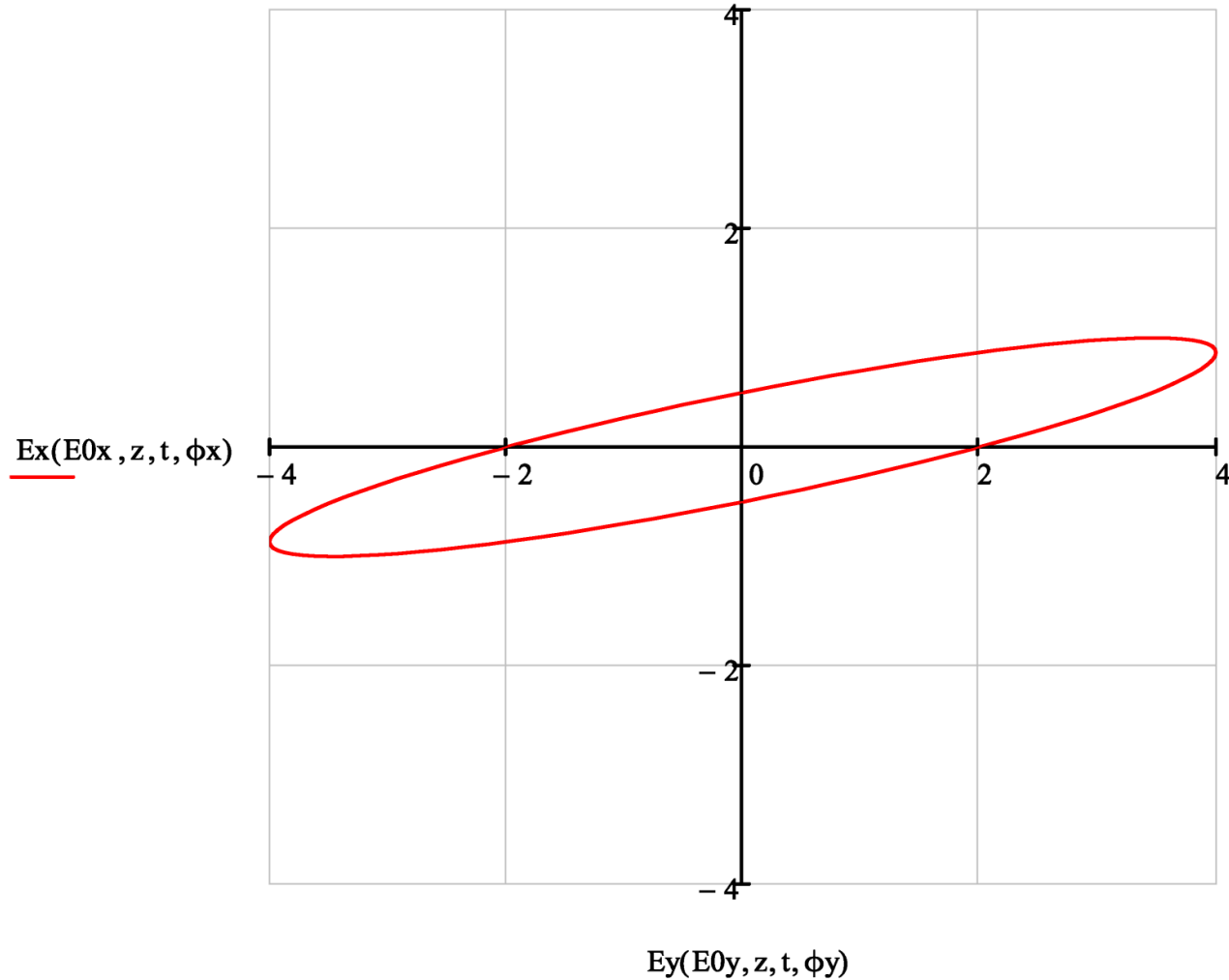
Polarização elíptica da onda EM

(f) $\underline{E_{0x}} := 1.0 \frac{\text{V}}{\text{m}}$ $\underline{\phi_x} := 30^\circ$ $\underline{E_{0y}} := 2.0 \frac{\text{V}}{\text{m}}$ $\underline{\phi_y} := 0^\circ$



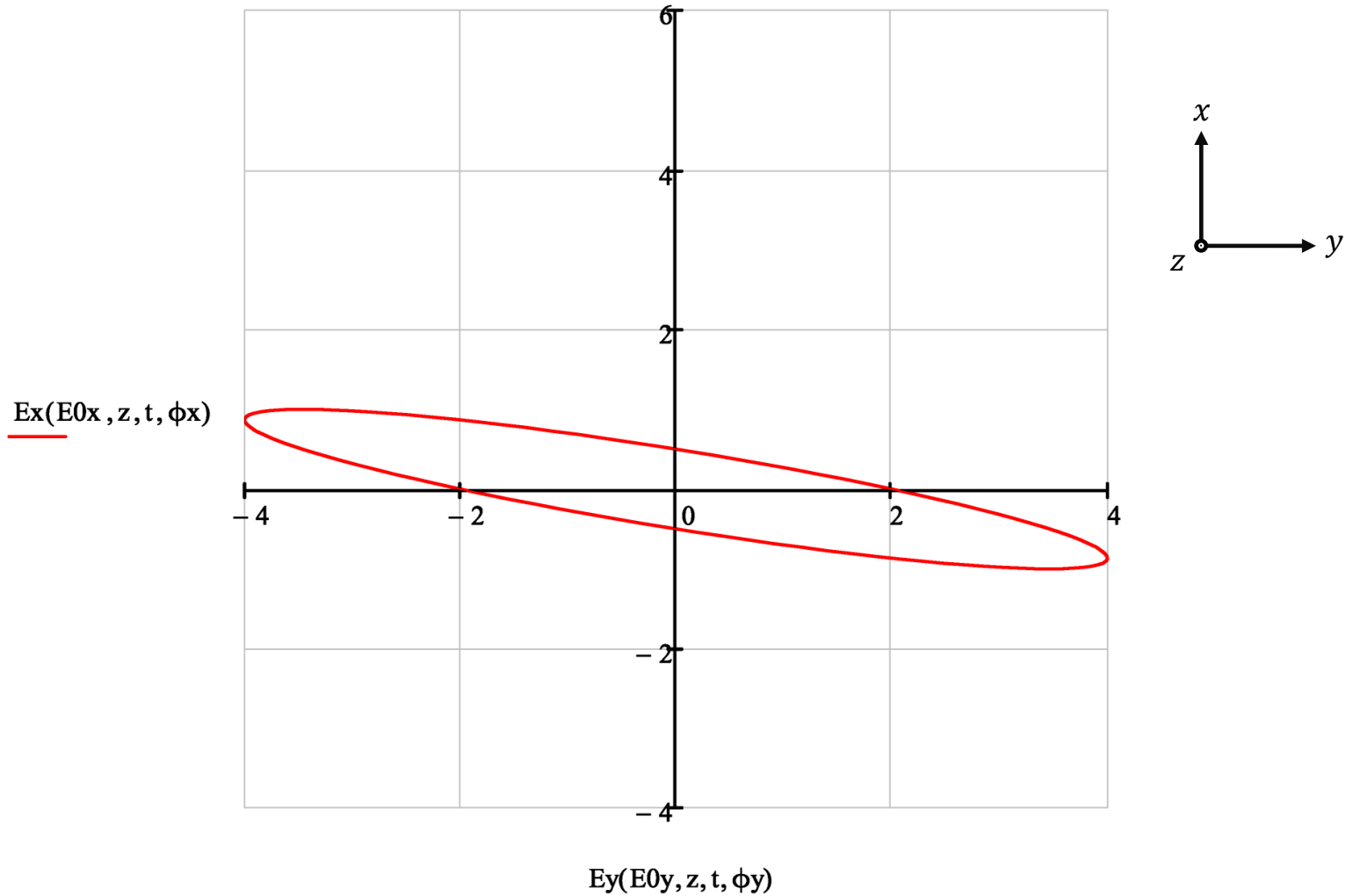
Polarização elíptica da onda EM

(g) $E_{0x} := 1.0 \frac{\text{V}}{\text{m}}$ $\phi_x := 30^\circ$ $E_{0y} := 4.0 \frac{\text{V}}{\text{m}}$ $\phi_y := 0^\circ$



Polarização elíptica da onda EM

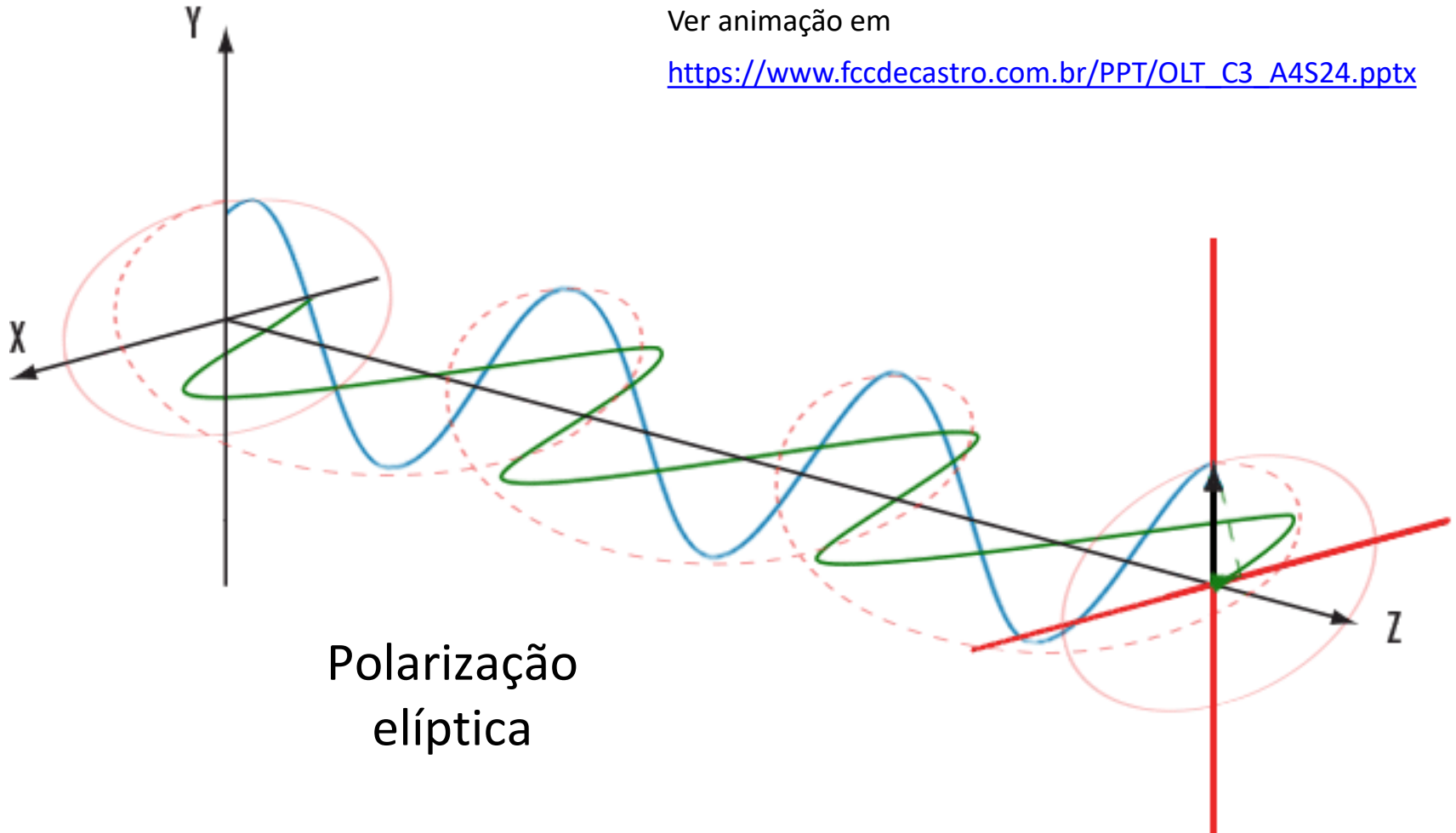
(h) $E_{0x} := 1.0 \frac{\text{V}}{\text{m}}$ $\phi_x := 180^\circ$ $E_{0y} := 4.0 \frac{\text{V}}{\text{m}}$ $\phi_y := 30^\circ$



Polarização elíptica da onda EM

Ver animação em

https://www.fccdecastro.com.br/PPT/OLT_C3_A4S24.pptx



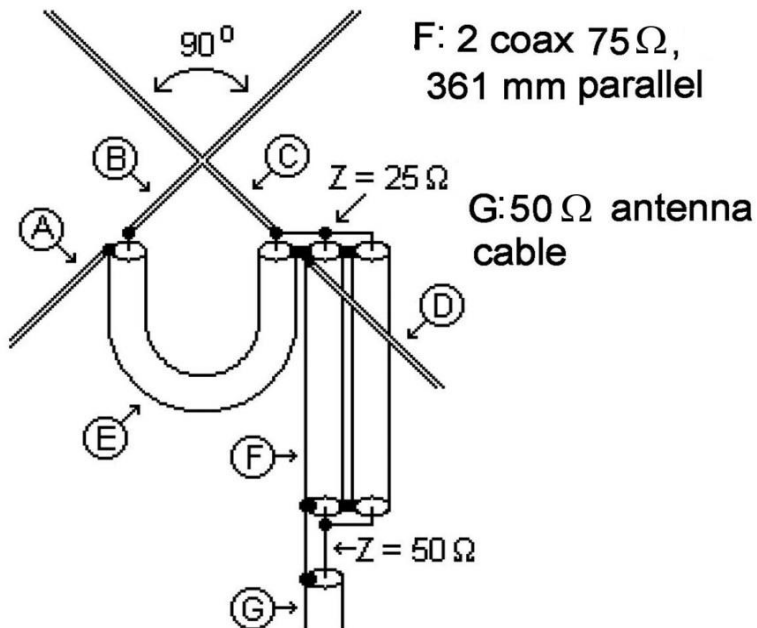
Polarização
elíptica

Polarização circular da onda EM

Conforme vimos na solução do item (e) do Exemplo 1 (ver slide 20), quando a diferença de fase $\phi_y - \phi_x$ entre as componentes E_y e E_x é $\mp 90^\circ$ a polarização é circular, que é um caso particular da polarização elíptica. A polarização circular é de importância significativa em diversas aplicações práticas. Por exemplo, abaixo e no próximo slide é mostrado uma antena para recepção de sinais de satélite, e que é projetada para receber uma onda EM circularmente polarizada na frequência $f = 137$ MHz. A polarização circular é mandatória para transmissão e recepção de sinais de satélite porque torna o enlace entre a antena do satélite e a antena da estação terrena minimamente dependente do posicionamento angular do satélite em relação à estação terrena.

Dipolo cruzado de 0.5λ @ $f = 137$ MHz - polarização RHCP - p/ satcom c/ satélite NOAA (National Oceanic and Atmospheric Administration) - ver <http://hans.mayer.tv/html/crossdipole137.html>

A till D: 510 mm E: coax 50Ω , 361 mm



$f := 137\text{MHz}$ → frequência de operação

$p := 0.66$ → fator de velocidade do cabo

$c = 2.998 \times 10^8 \frac{\text{m}}{\text{s}}$ → velocidade da luz

$\lambda := \frac{c}{f} = 2.188 \text{ m}$ → comprimento da onda no espaço livre

$\lambda_g := p \cdot \lambda = 1.444 \text{ m}$ → comprimento da onda no cabo

$\frac{\lambda_g}{4} = 361.064 \cdot \text{mm}$ → 1/4 do comprimento da onda no cabo

$Z_o := 75\Omega$ → impedância característica de cada cabo em paralelo no trafo de $\lambda_g/4$

$Z_{op} := \frac{Z_o}{2} = 37.5\Omega$ → impedância característica resultante do paralelo dos dois cabos de impedância Z_o no trafo de $\lambda_g/4$

$Z_{in} := 50\Omega$ → impedância de entrada no trafo de $\lambda_g/4$

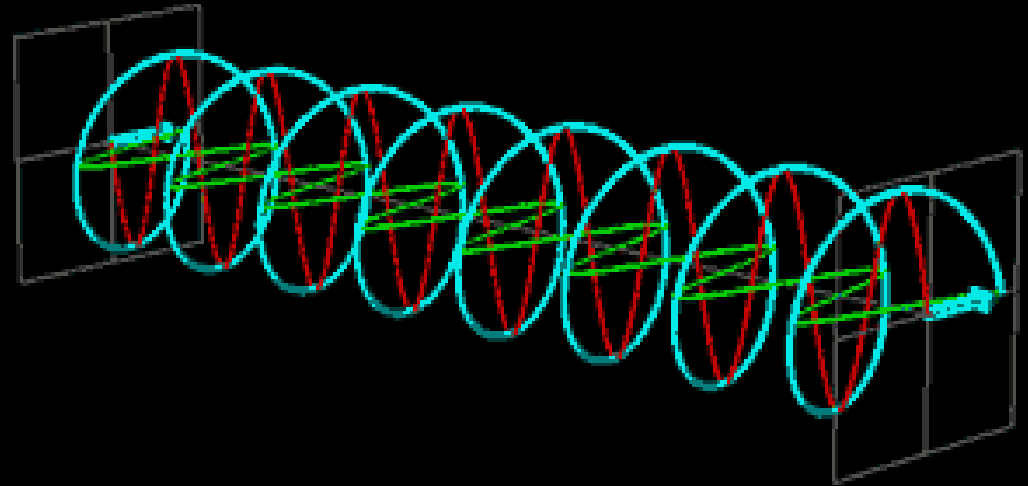
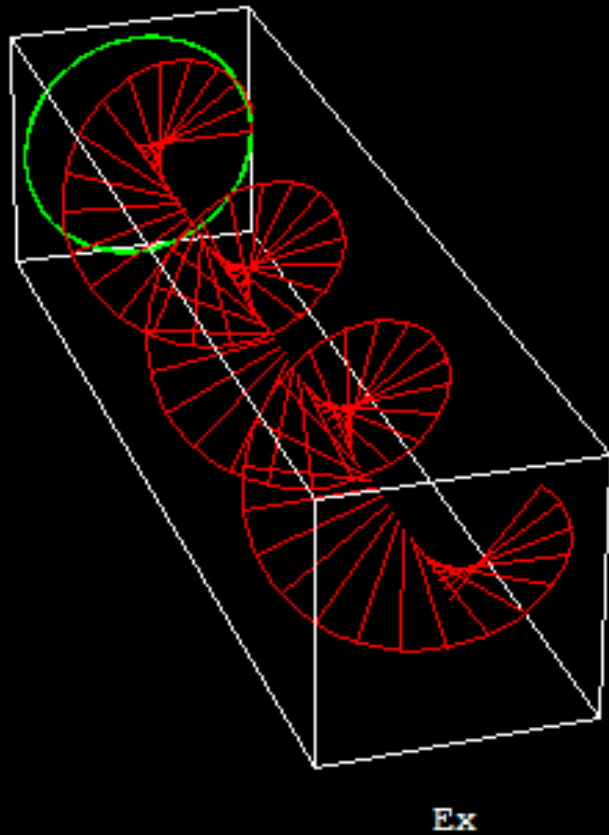
$Z_L := \frac{Z_{op}^2}{Z_{in}} = 28.125\Omega \sim 25\Omega$ → impedância na saída do trafo de $\lambda_g/4$

Polarização circular da onda EM

Dipolo cruzado de 0.5λ @ $f = 137$ MHz - polarização RHCP - p/ satcom c/ satélite NOAA



Polarização circular da onda EM



Ver animação em

https://www.fccdecastro.com.br/PPT/OLT_C3_A5S27.pptx

E_y

E_x

Polarização circular da onda EM

Para uma onda circularmente/elípticamente polarizada, é necessário especificar o seu sentido de rotação, que depende da diferença de fase $\phi_y - \phi_x$ entre as componentes E_y e E_x :

$$\phi_y - \phi_x = -90^\circ \text{ para uma onda circularmente polarizada à direita (RHCP – Right-Hand Circular Polarization)}. \quad (21)$$

$$\phi_y - \phi_x = +90^\circ \text{ para uma onda circularmente polarizada à esquerda (LHCP – Left-Hand Circular Polarization)}. \quad (22)$$

Ver animação no próximo slide.

O sentido de rotação também se aplica à polarização elíptica. Pode-se ter polarização elíptica à esquerda (**LHEP – Left-Hand Elliptical Polarization**) e polarização elíptica à direita (**RHEP – Right-Hand Elliptical Polarization**):

$$\phi_y - \phi_x < 0^\circ \text{ para uma onda RHEP}. \quad (23)$$

$$\phi_y - \phi_x > 0^\circ \text{ para uma onda LHEP}. \quad (24)$$

Importante notar que para (21), (22), (23) e (24) serem válidas é necessário que a amplitude das componentes E_{0x} e E_{0y} sejam positivas, conforme abaixo:

$$\underline{E}(z, t) = E_x \underline{\hat{i}} + E_y \underline{\hat{j}} = E_{0x} \cos(\omega t - \beta z + \phi_x) \underline{\hat{i}} + E_{0y} \cos(\omega t - \beta z + \phi_y) \underline{\hat{j}} \quad [\text{V/m}]$$

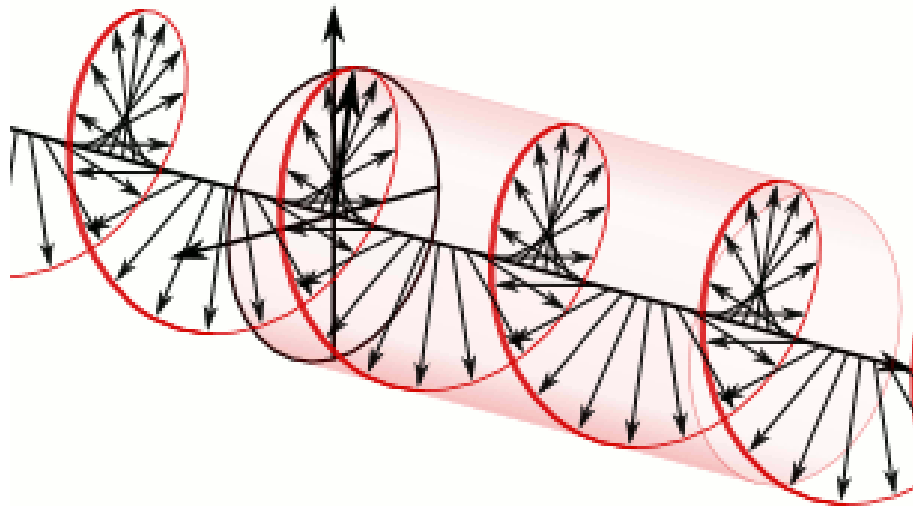
Caso a amplitude de uma das componentes for negativa, soma-se 180° à fase da componente. Por exemplo, a componente E_{0y} é negativa em (25) abaixo:

$$\underline{E}(z, t) = E_x \underline{\hat{i}} + E_y \underline{\hat{j}} = E_{0x} \cos(\omega t - \beta z + \phi_x) \underline{\hat{i}} - E_{0y} \cos(\omega t - \beta z + \phi_y) \underline{\hat{j}} \quad [\text{V/m}] \quad (25)$$

Nesta situação, para que (21), (22), (23) e (24) sejam válidas, é necessário somar 180° à fase da componente E_{0y} , colocando (25) na forma de (26) abaixo:

$$\underline{E}(z, t) = E_x \underline{\hat{i}} + E_y \underline{\hat{j}} = E_{0x} \cos(\omega t - \beta z + \phi_x) \underline{\hat{i}} + E_{0y} \cos(\omega t - \beta z + \phi_y + 180^\circ) \underline{\hat{j}} \quad [\text{V/m}] \quad (26)$$

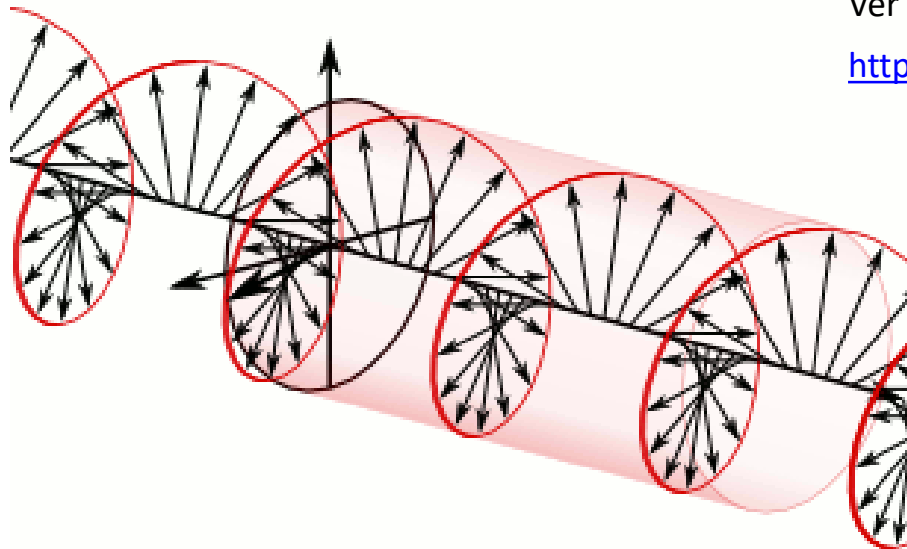
Polarização circular da onda EM



Polarização circular direita (RHCP) – vetor do campo \underline{E} gira no sentido horário aos olhos do observador posicionado no eixo $+z$ olhando para a origem do sistema cartesiano.

Ver animação em

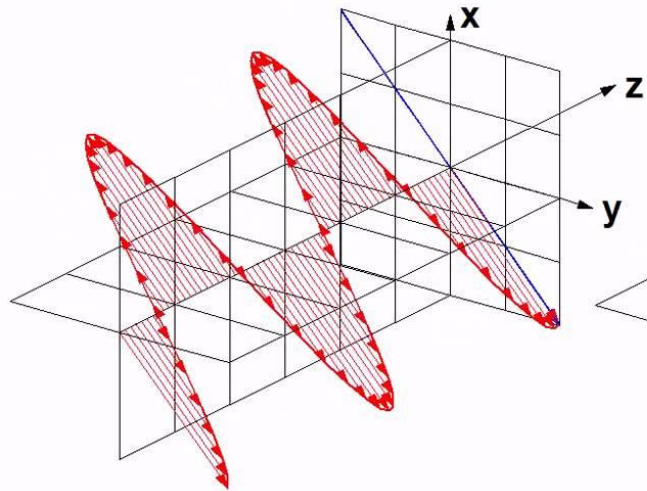
https://www.fccdecastro.com.br/PPT/OLT_C3_A6S29.pptx



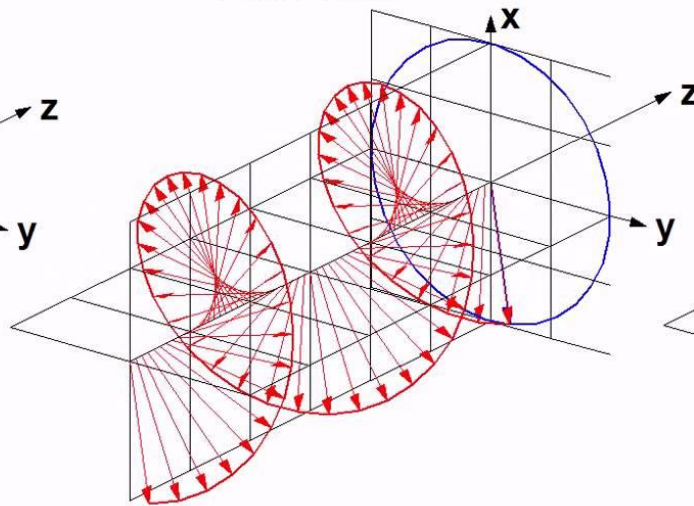
Polarização circular esquerda (LHCP) – vetor do campo \underline{E} gira no sentido anti-horário aos olhos do observador posicionado no eixo $+z$ olhando para a origem do sistema cartesiano.

Polarização circular da onda EM

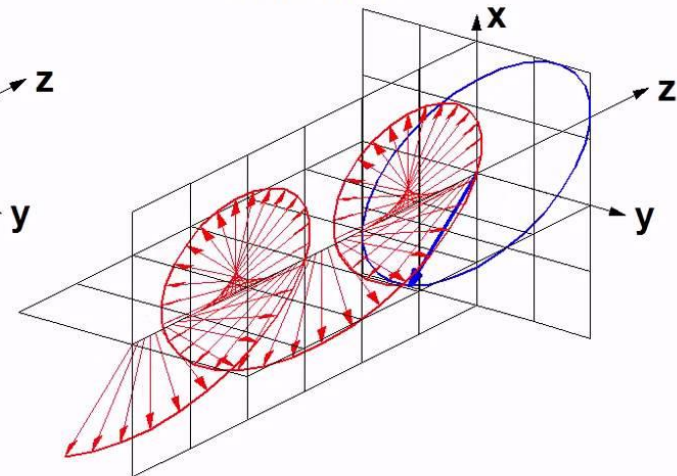
Linear Polarization



Circular (Right Hand) Polarization



Elliptical (Right Hand) Polarization



Representação fasorial da polarização da onda EM

Alternativamente, a polarização da onda EM pode ser representada de forma fasorial. Consideremos a equação para $\underline{E}(z, t)$ abaixo.

$$\underline{E}(z, t) = E_x \underline{\hat{i}} + E_y \underline{\hat{j}} = E_{0x} \cos(\omega t - \beta z + \phi_x) \underline{\hat{i}} + E_{0y} \cos(\omega t - \beta z + \phi_y) \underline{\hat{j}} \quad [\text{V/m}]$$

A equação acima pode ser colocada na forma fasorial de (27) abaixo:

$$\underline{E} = E_{0x} e^{j\phi_x} e^{-j\beta z} \underline{\hat{i}} + E_{0y} e^{j\phi_y} e^{-j\beta z} \underline{\hat{j}} \quad [\text{V/m}] \quad (27)$$

Para uma onda LHCP, $\phi_x = 0^\circ$, $\phi_y = +90^\circ$ e $E_{x0} = E_{y0}$. Daí, para $z = 0$ temos de (27) que:

$$\underline{E} = E_{0x} \underline{\hat{i}} + E_{0x} e^{j\pi/2} \underline{\hat{j}} = E_{0x} (\underline{\hat{i}} + j\underline{\hat{j}}) \quad [\text{V/m}] \quad (28)$$

Para uma onda RHCP, $\phi_x = 0^\circ$, $\phi_y = -90^\circ$ e $E_{x0} = E_{y0}$. Daí, para $z = 0$ temos de (27) que:

$$\underline{E} = E_{0x} \underline{\hat{i}} + E_{0x} e^{-j\pi/2} \underline{\hat{j}} = E_{0x} (\underline{\hat{i}} - j\underline{\hat{j}}) \quad [\text{V/m}] \quad (29)$$